

# ارزیابی اقتصادی و مقایسه عملکرد آبودینامیکی توربین بادی H - شکل و V - شکل در شهر زاهدان

مهمنگی مهندسی مکانیک شریف (نیاز ۱۶۰) دری ۱۱۸-۱۱۱، ص ۱، دانشکده هندسی مکانیک، دانشگاه تربیت مدرس (پژوهشی)

سام سهام (کارشناس ارشد)

سعید کریمیان علی‌آبادی\*

دانشکده هندسی مکانیک، دانشگاه تربیت مدرس

در این تحقیق، دو نوع توربین محور عمودی از منظر آبودینامیکی و اقتصادی مورد ارزیابی قرار گرفته است. توربین های مورد استفاده دارای پره های صاف و مستقیم (H - شکل) و زاویه دار (V - شکل) بوده که دارای مشخصات ابعادی برتری هستند. این مشخصات متناسب با شرایط اقاییم شهر زاهدان و توزیع سرعت باد میانگین در این منطقه لحاظ شده است. برای ارزیابی آبودینامیکی توربین ها از روش نیمه تحلیلی DMST استفاده شده است. نتایج این ارزیابی نشان می دهد که توان تولید شده در نوع V - شکل بسیار کمتر از نوع H - شکل می باشد که این موضوع ناشی از کاهش مساحت مؤثر توربین و همچنین کاهش گشتاور تولید شده توسط روتور آن است. از سوی دیگر، توان منفی هنگام راه اندازی در نوع وی-شکل حدود هفت برابر کمتر از نوع H - شکل بوده و این موضوع موجب بهبود راه اندازی این نوع توربین خواهد شد. از نظر اقتصادی نیز هزینه تولید انرژی متوسط سالیانه برای توربین وی-شکل حدود ۱۰ دلار می باشد که نسبت به هزینه ۶۶ دلاری نوع H - شکل بسیار است و این موضوع موجب کاربردی تر شدن توربین V - شکل در مقیاس شهری و کوچک می شود.

s.saham@modares.ac.ir  
karimian@modares.ac.ir

واژگان کلیدی: ارزیابی اقتصادی، توربین بادمحور عمودی، عملکرد آبودینامیکی.

## ۱. مقدمه

بیشتری تولید می کنند، اما نیازمند صرف هزینه بیشتر و اختصاص دادن منطقه ای تحت عنوان مزرعه توربین بادی هستند. به همین علت، استفاده از توربین های محور عمودی با توان کمتر، ابعاد کوچکتر، عدم حساسیت به جهت وزش باد و هزینه ساخت و سرویس کمتر، یکی از گزینه های مناسب برای بهره مندی از مکان هایی همچون بام منازل، بام کارگاه ها، حاشیه بزرگراه ها و سایر مکان های مشابه بوده که استفاده از توربین های محور افقی در آن مکان ها امکان پذیر نیست و یا صرفه اقتصادی ندارد. از آنجا که موقیت جغرافیایی ایران در ناحیه کم فشار است، بنابراین برخی از نقاط آن تحت تأثیر جریان های قدرتمند تابستانی و زمستانی قرار خواهد گرفت. این جریان ها شامل بادهای زمستانی و تابستانی بوده که از سمت اقیانوس اطلس و دریای مدیترانه و اقیانوس هند می وزند. یک مطالعه در دانشگاه شریف نشان می دهد که پتانسیل ۲۶ نقطه در کشور در حدود ۶۵۰۰ مگاوات بوده که منطقه مناسبی برای استقرار توربین های بادی می باشند.<sup>[۱]</sup> این قسمت ها شامل بخش اعظمی از جنوب شرقی ایران است که به طور کلی با دخیز تلقی می شود. اولین تجربه ایران در نصب توربین های بادی با هدف تولید برق به سال ۱۹۹۴ برمی گردد. در آن زمان،

صرف سوخت های فسیلی باعث مشکلات زیست محیطی از جمله آلودگی جو، تولید گازهای گلخانه ای و آلودگی آب و خاک می شود.<sup>[۲]</sup> ذخایر نفت و گاز با گذشت زمان کاهش می یابد، اما با گسترش صنایع و کارخانجات، نیاز به انرژی افزایش می یابد. از همین رو، بسیاری از کشورها سعی دارند تا وابستگی خود را به سوخت های فسیلی کاهش دهند و انرژی مورد نیاز خود را به واسطه انرژی های تجدید پذیر همچون انرژی باد و خورشید تأمین کنند. این نوع از انرژی که انرژی سبز نامیده می شود، بیش از ۲۰ درصد تقاضای انرژی جهان را تأمین می کند.<sup>[۳]</sup> انرژی بادی به دلیل رایگان و در دسترس بودن آن، یکی از روش های مناسب تأمین انرژی محسوب می شود. بهره مندی از انرژی باد نیازمند استفاده از توربین های بادی بوده تا بتوان به کمک این توربین ها انرژی باد را به انرژی مکانیکی و در نهایت به کمک ژیزاتورها به انرژی الکتریکی تبدیل کرد. توربین ها به دو دسته محور افقی و محور عمودی تقسیم شدند می شوند که به طور معمول توربین های محور افقی نسبت به نوع محور عمودی توان

\* نویسنده مستعد تاریخ: دریافت ۲/۳، ۱۴۰۲، اصلاحیه ۴/۲، ۱۴۰۲/۵/۲۲، پذیرش ۱۴۰۲/۵/۲۲.

استناد به این مقاله:

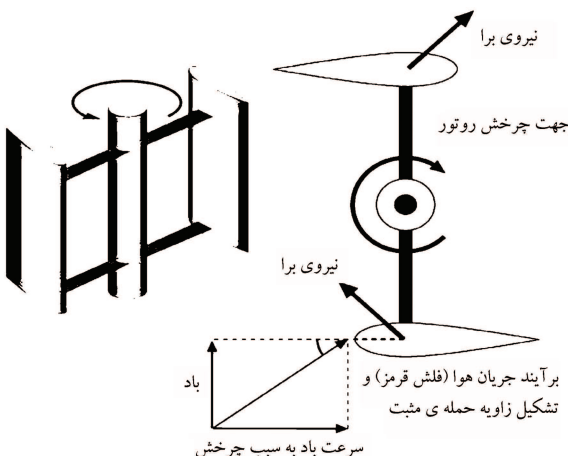
سهام، سام و کریمیان علی‌آبادی، سعید، ۱۴۰۳. ارزیابی اقتصادی و مقایسه عملکرد آبودینامیکی توربین بادی H - شکل و V - شکل در شهر زاهدان. مهندسی مکانیک شریف، ۱۱۸-۱۱۱، ص ۱، DOI:10.24200/J40.2023.62309.1680.

ایجاد تفاوت میان دو توربین می‌شود، استفاده از پره‌های زاویه‌دار در نوع V - شکل است. در نهایت، پس از بررسی عملکردی و فنی توربین‌ها، هزینه‌های اجرای طرح و تخمینی از ارزیابی اقتصادی مربوط به هر یک از آنها ارائه شده است.

## ۲. معرفی اجزاء و عملکرد توربین محور عمودی

همانطور که در بخش پیشین بیان شد، توربین‌های بادی انرژی جنبشی باد را به کمک پره‌ها دریافت کرده و با دوران روتور این انرژی را به انرژی مکانیکی تبدیل کرده و به شفت نگه‌دارنده پره‌ها منتقل می‌کنند. انتهای دیگر این شفت در جعبه دندۀ قرار دارد و در آن سرعت دوران شفت افزایش یافته و در نهایت وارد ژنراتور می‌شود. این توضیح کوتاه، اساس کار توربین‌های بادی است. اما نحوه دریافت انرژی باد توسط پره‌ها بنا به نوع توربین متفاوت است. برخی از توربین‌ها مانند نوع ساونوس براساس نیروی پسا و برخی براساس نیروی برآ عمل می‌کنند. اما در توربین‌های داریوس (مشابه توربینی که در این تحقیق استفاده شده است) از نیروی برآ بهره گرفته شده است و پره‌ها مشابه شکل ۱، به گونه‌ای طراحی می‌شوند تا مقدار پسا در مقابل جریان کم بوده و از طرف دیگر مقدار برآی تولید شده توسط پره‌ها بیشتر باشد. این نیروی برآ که ناشی از اختلاف فشار میان سطوح پرفشار و کم فشار پره است، به طور معمول چندین برابر نیروی پسا بوده و باعث ایجاد گشتاور حول محور توربین و به حرکت درآمدن پره توربین می‌شود. اجزای اصلی توربین‌های محور عمودی را می‌توان به قسمت‌های زیر تقسیم‌بندی کرد:

- برج توربین: برج یا پایه توربین، قسمت ثابت توربین باد بوده و وظیفه تحمل وزن استاتیک توربین و همچنین بار دینامیکی وارد بر آن را بر عهده دارد. در این نوع توربین، برخلاف نوع محور افقی، به طور معمول ژنراتور جعبه دندۀ در قسمت پایینی برج (نرديک زمين) نصب می‌شود;
- پره‌های توربین: پره‌های توربین واسطه تبدیل انرژی باد به انرژی مکانیکی بوده و از آنجا که تولید انرژی خروجی وابستگی به نسبت زیادی به پره‌های توربین دارد، بنابراین از نظر آبودینامیکی جزو قسمت‌های اصلی و مهم بهشمار می‌رود. این قسمت نیاز به طراحی دقیق و مناسبی دارد، چرا که دارای رابطه مستقیمی با تولید نیرو و به چرخش درآوردن روبرو است;
- جعبه دندۀ و ژنراتور: جعبه دندۀ باعث افزایش سرعت دورانی محور خروجی از

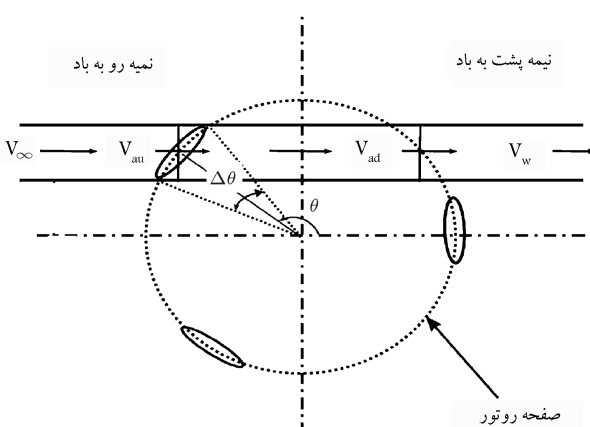


شکل ۱. نحوه عملکرد توربین بادی محور عمودی داریوس (براساس نیروی برآ). [۲۲]

دو مزرعه توربین بادی با توان ۵۰۰ کیلووات در منجیل و رودبار، واقع در استان گیلان احداث گردید که انرژی سالیانه آن به بیش از ۱/۸ میلیون کیلووات ساعت رسید. [۲۴] دومین تجربه در سال ۱۹۹۹ و با احداث ۲۷ توربین بادی در منجیل و رودبار صورت پذیرفت که ۲۱ توربین مربوط به منجیل بوده که شامل ۱۵ توربین ۳۰۰ کیلوواتی، ۵ توربین ۵۵۰ کیلوواتی و یک توربین ۵۰۰ کیلوواتی است. [۲۵] از دیگر نقاط ایران که از توربین‌های بادی بهره می‌برند، می‌توان به بیتلود در خراسان و لوتاک در سیستان و بلوچستان اشاره کرد.

قریشی و رحیمی به بررسی جزئیات انرژی تجدیدپذیر و تجدیدناپذیر و همچنین به اثلاف انرژی در برخی از صنایع پرداختند و پیشنهاداتی برای بهبود این مشکل ارائه دادند. [۲۶] علمدری و همکاران به بررسی پتانسیل انرژی بادی در ایران پرداختند. آنها سرعت باد را در سال ۲۰۰۷ و در ارتفاعهای ۱۰، ۳۰ و ۴۰ متری از سطح زمین مورد مقایسه قرار دادند. آنها سرعت میانگین باد،تابع توزیع سرعت باد و میانگین تراکم باد را توسط ۶۸ مرکز اطلاعاتی آب و هواشناسی ایران تخمین زدند. [۲۷] مصطفی پور امکان‌سنجی بهره‌برداری از انرژی باد در منطقه یزد ایران را بررسی کرد. او سرعت باد را به صورت ماهانه و سالیانه در ارتفاعهای مختلف در سال‌های تا ۱۹۹۲ در ۱۱ استگاه هواشناسی مورد ارزیابی قرار داد. طبق تحقیقات او، سرعت باد میانگین سالیانه در اکثر استگاه‌های هواشناسی کمتر از ۴/۵ متر بر ثانیه بوده که برای نصب توربین‌های بادی (به خصوص توربین‌های بزرگ) نامناسب است. [۲۸] وی در تحقیقی دیگر به ارزیابی اقتصادی استفاده از توربین‌های بادی کوچک در شهر کرمان پرداخت. در این تحقیق سه توربین کوچک مورد بررسی قرار گرفت. نتایج این تحقیق نشان می‌دهد که شهر کرمان دارای پتانسیل انرژی بادی به نسبت بهتری برای نصب توربین‌های بادی کوچک است. [۲۹] موسوی و همکاران به مقایسه روش‌های موجود برای تولید برق با توربین بادی در ایران پرداختند و بیان کردند که نیروگاه‌های متکی به انرژی باد می‌توانند یکی از نیروگاه‌های رقابتی در صنعت بوده و از طرفی بیان کردنده که موضوع یارانه‌ها می‌تواند در آینده بر توسعه صنعت بادی ایران تأثیرگذار باشد. همچنین، در نتایج آنها اشاره شده است که با توجه به وضعیت اقتصادی ایران و جهان، حرکت به سوی انرژی‌های پاک از جمله توربین بادی، یکی از رویکردهای مناسب برای کشور است. [۳۰] با توجه به اهمیت انرژی باد و مزایای آن، بسیاری از محققان به بررسی پتانسیل انرژی باد در مناطق مختلف ایران و جهان پرداختند که می‌توان به شهرهای مانند یزد، تهران [۳۱] و منجیل [۳۲] در ایران و کشورهای ترکیه، [۳۳] یونان، [۳۴] آلمان، [۳۵] آفریقای شمالی، [۳۶] بحرین، [۳۷] عربستان [۳۸] و پاکستان [۳۹] اشاره کرد. بنابراین، با توجه به آمارهای ذکر شده، واضح است که به طورکلی کشور ایران با وجود برخی مناطق مناسب از نظر انرژی باد، نسبت به سایر کشورها در مقام پایین‌تری قرار گرفته است که این مسئله به تهابی نشان می‌دهد که استفاده از توربین‌های محور عمودی و کوچک می‌تواند بازدهی بهتری در سطح کشور داشته باشد. این در حالی است که اکثر نیروگاه‌های بادی کشور از توربین‌های محور افقی عظیم استفاده می‌کنند که علاوه بر پیچیدگی ساخت و بهره‌برداری، دارای هزینه‌های تولید و نگهداری بیشتری نسبت به نوع محور عمودی هستند.

در این تحقیق سعی شده است تا عملکرد آبودینامیکی دو نوع توربین محور عمودی H - شکل و V - شکل متناسب با شرایط جوی و سرعت هوای موجود در منطقه سیستان و شهر زاهدان مورد بررسی قرار گیرد. از معیارهای مهم برای انتخاب توربین جهت تولید برق در این منطقه می‌توان به مقدار سرعت باد میانگین در هر ماه و توزیع فراوانی هر سرعت اشاره کرد. برای این منظور، قطر توربین‌ها و سایر پارامترهای هندسی متناسب با شرایط اقلیم منطقه انتخاب شده و برای هر دو نوع توربین از نسبت منظر یکسان استفاده شده است؛ تنها پارامتری که موجب



شکل ۳. مسیر جریان در روش دی ام اس تی.<sup>[۲۴]</sup>

نیمه رو به باد و نیمه پشت به باد) نشان می‌دهد. به طور مشابه، سرعت  $V_e$  نیز با عبور از پره‌های نیمه پشت به باد، با کاهش انرژی مواجه شده و در نهایت سرعت خروج جریان از روتور ( $V_w$ ) به کمترین مقدار خود می‌رسد. این پارامتر همان سرعت جریان زنگنه (Wake) است. در این میان، سرعت جریان در محل عبور از میان پره‌های دو نیمه به ترتیب ( $V_{ad}$ ) بوده که متأثر از ضرباًب القایی (نیمه رو به باد و نیمه پشت به باد) یعنی  $a_u$  و  $a_d$  است. این ضرباًب القایی که نشان‌دهنده میزان تأثیر پره بر جریان عبوری از روتور است، توسط روش سعی و خطأ و با کمک روابط مومنتوم در دو صفحه مجرزاً از هم (برای دو نیمه روتور) بدست می‌آیدند.

$$V_\infty > V_{au} > V_e > V_{ad} > V_w \quad (1)$$

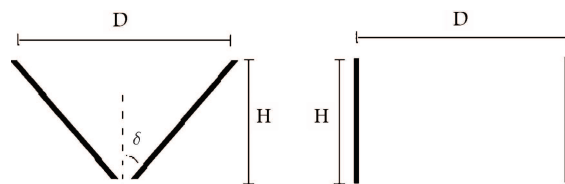
$$V_{au} = a_u V_\infty \quad (2)$$

$$V_e = V_\infty (2a_u - 1) \quad (3)$$

$$V_{ad} = a_d V_e \quad (4)$$

در روابط فوق، پارامترهای  $V_{au}$  و  $V_{ad}$  به ترتیب بیانگر سرعت جریان در دیسک محرک جلویی (Upwind actuator disc) و سرعت جریان در دیسک محرک عقبی (Downwind actuator disc) است. این پارامترها از متغیرهای پایه‌ای برای محاسبه سرعت نسبی و زاویه حمله است. ضرباًب  $a_u$  و  $a_d$  نیز به ترتیب ضرباًب القایی محوری برای نیمه رو به باد دیسک محرک جلویی (Upwind actuator disc) و نیمه پشت به باد دیسک محرک عقبی (Downwind actuator disc) است. با فرض دلخواه ضرباًب القایی اولیه (a)، می‌توان سرعت جریان را در مقطع مورد نظر محاسبه کرده و با کمک آن سرعت جریان عمود بر پره، سرعت جریان مماس بر پره در راستای وتر و همچنین سرعت جریان مماس بر پره در راستای طول پره را مشابه روابط ۵ و ۶ به دست آورد. از آنجاکه در محاسبات آبودینامیک برای دستیابی به نیروهای برآ و پسا، مهندسی محاسبات براساس سرعت نسبی جریان است، بنا براین توسط رابطه ۷، سرعت نسبی جریان در لحظه برخورد به پره بدست آمده و با کمک آن می‌توان زاویه حمله ظاهری را مشابه رابطه ۸ به دست آورد. شکل ۴ نیز نشان‌دهنده وضعیت قرارگیری پره در چهار لحظه متفاوت است. همانطور که مشاهده می‌شود، سرعت نسبی جریان و زاویه حمله در هر لحظه دارای جهت و مقدار متفاوتی بوده و پس از به دست آمدن نیروهای برآ و پسا می‌توان با تغییر دستگاه مختصات، این نیروها را به نیروهای مماس و عمودی بر پره تبدیل کرد.

همچنین، از آنجاکه پره‌های توربین دارای طول محدودی هستند، بنا براین مقداری از جریان در نوک پره از سطح پرنشار پره به سطح کم‌فشار آن منحرف شده است که



شکل ۲. شماتیک جانبی هندسه روتور H - شکل (سمت راست) و V - شکل (سمت چپ).

جدول ۱. مشخصات توربین H - شکل و V - شکل.

V - type	H - type	مشخصه
ناکا ۰۰۱۵	ناکا ۰۰۰۵	نوع ایرفویل
۳ عدد	۳ عدد	تعداد پره
۰/۳ متر	۰/۳ متر	طول وتر پره
۶ متر	۶ متر	قطر روتور
۶ متر	۶ متر	طول پره
۰/۲۵ متر	۰/۰۵ متر	ارتفاع روتور
۰	۰	زاویه دلتا
۵۰ درجه بر دقیقه	۵۰ درجه بر دقیقه	سرعت چرخش روتور

جمعه‌ده شده که موجب انتقال سرعت به نسبت پایین روتور به سرعت مناسب برای ژنراتور می‌شود. در نهایت، محور خروجی از جمعه‌ده با ژنراتور در ارتباط بوده و توسط ژنراتور انرژی مکانیکی به انرژی الکتریکی تبدیل می‌شود.

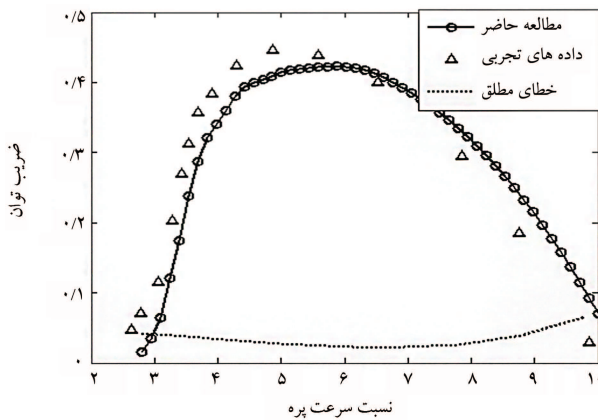
همانطور که گفته شد، در این تحقیق از دو نوع توربین استفاده شده است؛ نوع اول استفاده از پره‌های مستقیم (H - شکل) و نوع دوم روتور با پره‌های زاویه‌دار است که به آن توربین V - شکل می‌گویند. شماتیک توربین‌ها در شکل ۲ و مشخصات ابعادی آنها در جدول ۱ نشان داده شده است. برای مقایسه دو توربین با ضرباًب هندسی مشابه، از نسبت طول پره به قطر روتور یکسان (نسبت منظری یکسان) استفاده شده است. برای این مانظور، در حالت H - شکل، قطر روتور ۶ متر در نظر گرفته شده است و براساس این قطر، ارتفاع روتور در توربین V - شکل معادل ۰/۲۵ متر خواهد بود. در شماتیک شکل ۲ نیز مشخص است که با ثابت نگهداشت قطر روتور H - شکل از قسمت بالای آن و نزدیک کردن قسمت پایینی روتور به یکدیگر، می‌توان هندسه روتور V - شکل را ایجاد کرد. زاویه حاصل شده از استمداد پره با محور توربین تحت عنوان زاویه مخروطی یا زاویه دلتا نامیده می‌شود. این زاویه معادل ۴۵ درجه لحاظ شده است.

### ۳. معادلات و مدل‌سازی

تحلیل توربین موردنظر در این تحقیق براساس روش دی ام اس تی<sup>۱</sup> و با کمک نرم افزار متلب<sup>۲</sup> انجام می‌شود. این روش براساس روش مومنتوم بوده و در این روش روتور توربین به دو قسمت رو به باد و پشت به باد تقسیم شده و برای هر بخش روابط مومنتوم جریان به صورت جداگانه اعمال می‌شود. همانطور که از شکل ۳ مشخص است، روتور توربین در امتداد مسیر جریان به بخش‌هایی تقسیم می‌شود که این موضوع با تقسیم‌بندی زاویه آزمیوت ( $\Delta\theta$ )<sup>۳</sup> متناسب است. جریان آزاد ( $V_\infty$ ) با برخورد به پره‌های روتور در نیمه رو به باد مقداری از انرژی خود را از دست داده و به  $V$  تقلیل پیدا می‌کند؛ این متغیر، سرعت جریان را در میانه توربین (میان

جدول ۲. مشخصات اولیه توربین مبنای.

ناکا ۰۰	نوع ایرفول
۲ عدد	تعداد پره
۱/۱۵ m	وتر پره
۱/۵ m	ارتفاع پره
۰.۵ m	قطر روتور
۱۶۲/۵ rpm	سرعت چرخش



شکل ۵. اعتبارسنجی مدل دی ام اس تی با داده‌های تجربی.<sup>[۲۴]</sup>

نیمه روتور به صورت جداگانه تکرار می‌شود.

$$f = \frac{Bc}{\lambda \pi r} \int_{-\pi/4}^{\pi/4} \left( C_n \frac{\cos \theta}{|\cos \theta|} - C_t \frac{\sin \theta}{|\cos \theta| \cos \delta} \right) \left( \frac{W}{V_a} \right)^r d\theta \quad (13)$$

$$a_{new} = \pi / (f + \pi) \quad (14)$$

در گام بعد، با کمک نیروی مماسی وارد بر پره، گشتاور مورد نظر ایجاد شده و در نهایت توان تولیدی توربین توسط روابط ۱۵ تا ۱۸ به دست می‌آید که در این روابط، گشتاور پره متناسب با هر زاویه آزیمoot،  $\bar{Q}$  گشتاور میانگین روتور  $\bar{C}_{\bar{Q}}$  ضریب گشتاور میانگین،  $\lambda$  نسبت سرعت پره و  $A$  مساحت جاروب شده توسط روتور توربین است.

$$Q(\theta) = r \cdot F_T(\theta) \quad (15)$$

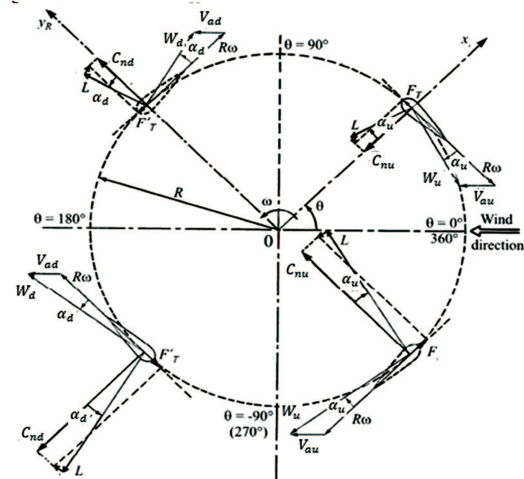
$$\bar{Q} = \frac{N}{2\pi} \int Q d\theta \quad (16)$$

$$C_{\bar{Q}} = \frac{\bar{Q}}{1/2 \cdot \rho A \cdot R \cdot V_a^r} \quad (17)$$

$$C_P = \lambda \cdot C_{\bar{Q}} \quad (18)$$

#### ۴. اعتبارسنجی روش حل

به منظور اعتبارسنجی روش مورد استفاده، از یک توربین H - شکل و با مشخصات هندسی مطابق با جدول ۲ استفاده شده است و نتیجه حاصل شده از مقیاس ضریب توان با داده‌های تجربی به دست آمده از آزمایشگاه سندیا<sup>۶</sup> در شکل ۵ مورد مقایسه قرار گرفته است. در این شکل، محور افقی نشان‌دهنده نسبت سرعت



شکل ۴. عکس العمل نیروها در صفحه روتور.<sup>[۲۴]</sup>

این عمل باعث می‌شود تا گردابهای تحت عنوان گردابهای نوک پره<sup>۴</sup> و به دنبال آن جریان فرو وزش<sup>۵</sup> و تغییر زاویه سرعت نسیی جریان و در نهایت کاهش زاویه حمله موثر در این نواحی ایجاد شود که نتیجه آن، کاهش عملکرد آینه‌زنی‌پردازی در قسمت نوک پره خواهد بود. بنابراین، برای بهبود روش دی ام اس تی، زاویه حمله موثر از اختلاف زاویه حمله ظاهری و زاویه حمله القابی ناشی از افت جریان از نوک پره است که از طریق روابط پرانتل به دست می‌آید.<sup>[۲۵]</sup>

$$V_n = V_a \cos \theta \cos \delta \quad (5)$$

$$V_t = r\omega - V_a \sin \theta \quad (6)$$

$$W = \sqrt{(V_n)^r - (V_t)^r} \quad (7)$$

$$\alpha = \sin^{-1}(V_n/W) \quad (8)$$

در گام بعد می‌توان ضرایب نیروی برا و پسا و به دنبال آن با تغییر دستگاه مشخصات، ضرایب نیروی عمودی و مماسی بر پره را مشابه روابط ۱۳ و ۱۴ به دست آورد. پس از به دست آمدن ضرایب نیرو، می‌توان مقدار نیرو را در هر مقطع از پره طبق روابط ۱۱ و ۱۲ محاسبه کرد. در این روابط،  $\delta$  زاویه مخروطی پره،  $c$  چگالی هوای وتر،  $\Delta h$  طول المان پره،  $W$  سرعت نسبی جریان در لحظه برخورد به پره و  $C_n$  و  $C_t$  به ترتیب ضرایب نیروی عمودی و مماسی بوده که متناسب با ضرایب برا و پسای پره است.

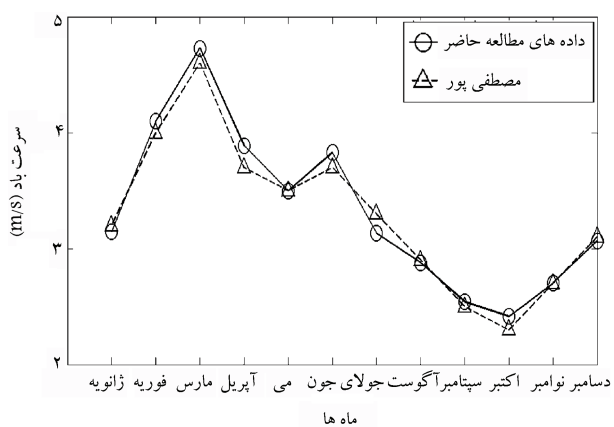
$$C_n = C_L \cos \alpha + C_D \sin \alpha \quad (9)$$

$$C_t = C_L \sin \alpha - C_D \cos \alpha \quad (10)$$

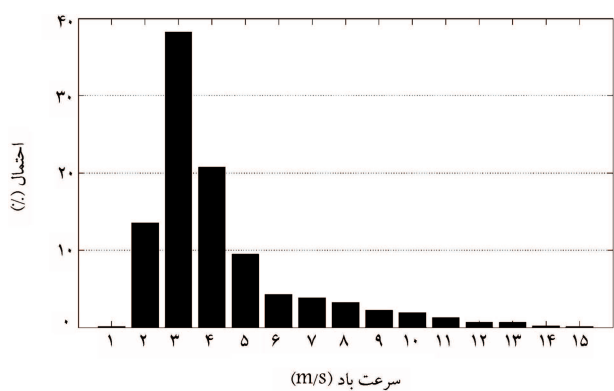
$$F_N(\theta) = \left( \frac{1}{2} C_n \rho c \Delta h W^r \right) \quad (11)$$

$$F_T(\theta) = \left( \frac{1}{2} C_t \rho c \Delta h W^r \right) \quad (12)$$

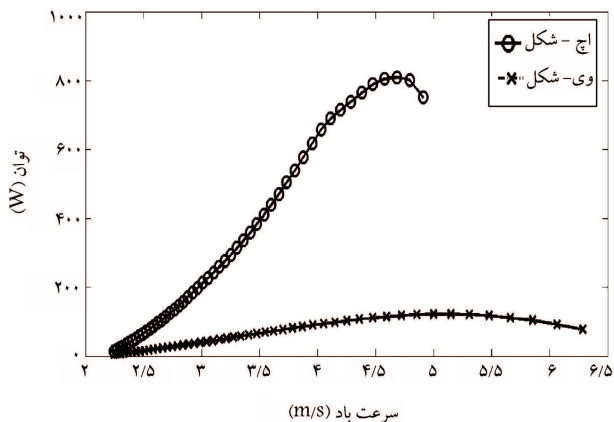
با محاسبه ضرایب نیروی نیروی عمودی و مماسی و با کمک روابط ۱۳ و ۱۴ می‌توان مقدار ضریب القابی جدید را به دست آورد. میزان همگرایی مدل ۱۰/۰۰۰۱ در نظر گرفته شده است. با محاسبه ضریب القابی جدید، سرعت نسیی جریان، زاویه حمله و ضرایب نیروهای مماسی و عمودی مجدداً محاسبه می‌شوند و این حلقه تا زمانی که به همگرایی مناسب برسد، برای هر المان از پره، هر زاویه آزیمoot و برای هر دو



شکل ۶. اعتبارسنجی پروفیل سرعت باد با مرجع.<sup>[۲۸]</sup>



شکل ۷. احتمال رخداد سرعت‌های باد مختلف در طول سال (زاہدان).



شکل ۸. منحنی توان توربین.

توانی در حدود  $810$  و  $120$  وات در سرعت بادهای  $4/6$  و  $4/8$  متر بر ثانیه حاصل کنند.

آنچه که از شکل ۸ استنباط می‌شود، کاهش  $85$  درصدی توان توربین  $V$ -شکل نسبت به نوع  $H$ -شکل است. این موضوع ناشی از دلیل اصلی می‌باشد که عبارتند از: کاهش گشتاور خروجی از توربین به دلیل نزدیکتر شدن المان‌های پره به محور توربین و همچنین کاهش مساحت موثر رotor توربین  $V$ -شکل. از سوی دیگر، در محاسبه ضریب توان توربین، لازم است تا توان خروجی نسبت به توان باد عبوری از مساحت موثر آن سنجیده شود. منحنی ضریب توان نشان داده شده در شکل ۹ بیانگر کاهش ضریب توان به میزان  $37$  درصد نسبت به حالت  $H$ -شکل است.

پره  $V$  و محور قائم نشان دهنده ضریب توان توربین است. مشاهده می‌شود که روش دی ام اس تی مورد استفاده در این تحقیق توانسته است تا ضریب توان توربین را در نقطه کاری خود (محدوده نسبت سرعت  $5$ ) با مقدار خطای نسبی شش درصد تخمین بزند. همچنین، منحنی خطای مطلق نیز در شکل نشان داده شده است. اختلاف میان تحلیل انجام شده و داده‌های تجربی را می‌توان ناشی از عواملی همچون دنباله جریان،<sup>۸</sup> انبساط جریان<sup>۹</sup> و استال دینامیکی<sup>۱۰</sup> دانست.

## ۵. پتانسیل انرژی باد در زاهدان

شهر زاهدان در مرکز استان سیستان و بلوچستان، در جنوب شرقی ایران و ارتفاع  $۱۳۸۵$  متری از سطح دریا واقع شده است که دارای جمعیتی حدود  $۶۰۰$  هزار نفر و ساحتی به میزان  $۷۸$  کیلومتر مربع است. این شهر در ناحیه بادخیز قرار گرفته است که در طول سال در معرض بادهای قدرتمند فصلی در جهات مختلف قرار می‌گیرد. از معروف‌ترین آن‌ها می‌توان به بادهای  $۱۲^{\circ}$  روزه اشاره کرد. روش محاسبه سرعت باد برای هر ماه (به صورت جداگانه) از میانگین‌گیری سرعت باد ماهانه در سه سال متولی  $۲۰۱۸$  الی  $۲۰۲۰$  و در ارتفاع  $۱۰$  متری از سطح زمین به دست آمده است. می‌توان پروفیل سرعت باد برای شهر زاهدان را مطابق روشی که ذکر شد، در شکل ۶ مشاهده کرد. همچنین، منبع داده‌های مورد استفاده با اطلاعات مرجع  $۲۷$  مورد اعتبارسنجی قرار گرفته است. پروفیل سرعت این شهر مبنای ارزیابی توربین مورد نظر است. با توجه به نمودار این شکل، مشاهده می‌شود که سرعت میانگین در طول سال برابر  $3/77 \text{ m/s}$  می‌باشد و بیشینه و کمینه سرعت متوسط باد به ترتیب در حدود  $4/87 \text{ m/s}$  و  $2/9 \text{ m/s}$  بر ثانیه است و در ماههای فوریه و اکتبر رخ می‌دهد. مطابق شکل ۷، با توزیع احتمال سرعت باد استیبلیتی می‌شود که احتمال رخداد سرعت باد در بازه  $3$  الی  $4$  متر بر ثانیه به ترتیب در حدود  $38$  و  $21$  درصد است که از بیشترین احتمال برخوردار است.

در ادامه، با توجه به رابطه  $19$  و  $25$  می‌توان به ترتیب توان و چگالی انرژی باد در در این شهر را تخمین زد. در این روابط،  $V_n$  معرف سرعت باد در توزیع احتمال موردنظر و  $p$  احتمال رخداد این سرعت است. در رابطه  $20$  پس از محاسبه توان باد، می‌توان با در نظر گرفتن یک سال (معادل  $8760$  ساعت)، بیشینه انرژی باد در منطقه را محاسبه کرد. بنابراین، با توجه به توزیع سرعت باد زاهدان و این روابط می‌توان توان و انرژی باد سالیانه این شهر را در حدود  $98 \text{ W/m}^2$  و  $855 \text{ kWh/m}^2$  تخمین زد.

$$P \sum_{n=1}^{15} \frac{1}{2} \rho V_n^3 \cdot p \quad (19)$$

$$E = P \cdot 8760 \quad (20)$$

## ۶. نتایج

با توجه به توزیع سرعت باد و احتمال رخداد آن در شهر زاهدان، مشاهده می‌شود که بیشترین پتانسیل انرژی باد در محدوده سرعت  $3$  الی  $4$  متر بر ثانیه رخ می‌دهد. با رسم منحنی توان توربین‌های مورد نظر، نمودارهای شکل ۸ حاصل می‌شود. مشاهده می‌شود که توربین‌های  $H$ -شکل و  $V$ -شکل به ترتیب توانسته‌اند بیشینه

جدول ۳. ارزیابی عملکرد توربین H - شکل و V - شکل.

نوع توربین	توان (W)	گشتاور منفی (N.m)	توان (W)	بیشینه	تولیدی	بیشینه	انرژی تولیدی	ضریب سالیانه	توان (KWh)
H - شکل	۸۱°	۱۲۵	۲۴۵°	۲۴۵°	۰/۴۵	۰/۴۵	۰/۴۵	۰/۴۵	۰/۴۵
V - شکل	۱۲°	۱۵	۴۵°	۴۵°	۰/۲۸	۰/۲۸	۰/۲۸	۰/۲۸	۰/۲۸

## ۷. تخمین هزینه تولید توان

به کمک ارزیابی اقتصادی می‌توان هزینه‌های تولید انرژی و میران سرمایه‌گذاری لازم را تخمین زد. هدف از ارزیابی اقتصادی، مقایسه مالی طرح‌های مختلف و اطمینان از به صرفه بودن پروژه است. لازم است تا مدیران و سرمایه‌گذاران از هزینه‌های اولیه و جاری پروژه و همچنین از مزایا و معایب طرح اطلاع داشته باشند. روش مورد استفاده برای این منظور مطابق مرجع [۲۷] است؛ هزینه تولید توان توربین به دو قسمت هزینه اولیه و هزینه جاری، مانند هزینه‌های سروپس و تعمیر و نگهداری تقسیم می‌شود. در رابطه ۲۱ بیانگر هزینه اولیه توربین و  $C_{OM}$  هزینه‌های جاری پروژه بوده که به صورت ضریبی  $C_I$  از هزینه اولیه توربین تعریف می‌شود؛ این بدان معناست که هزینه جاری توربین متناسب با هزینه اولیه توربین است.

$$C_{OM} = mC_I \quad (21)$$

با در نظر گرفتن هزینه اولیه، می‌توان هزینه خالص تمام شده ( $NPV$ ) را با در نظر گرفتن نیخ تورم  $I$  و برای  $n$  سال به صورت رابطه ۲۲ بیان کرد. در نهایت، با توجه به تولید انرژی سالیانه ( $AEP$ ) برای هر توربین، می‌توان میران هزینه لازم برای تولید هر کیلووات ساعت انرژی را به کمک رابطه ۲۳ نیز محاسبه کرد.

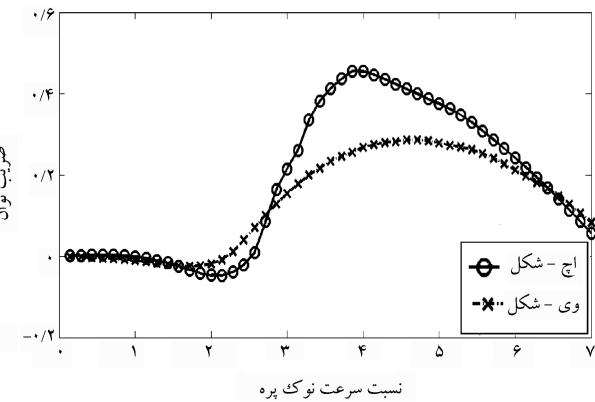
$$NPV = \frac{C_I}{n} \left[ 1 + m \left( \frac{(1+I)^n - 1}{I(1+I)^n} \right) \right] \quad (22)$$

$$C = \frac{NPV}{AEP} \quad (23)$$

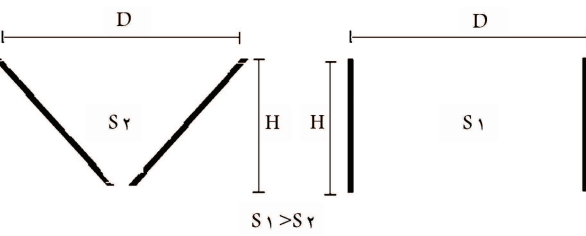
همچنین، فرض‌های زیر با توجه به مرجع [۲۸] در متغیرهای ذکر شده در روابط فوق دخیل است:

- هزینه اولیه توربین ۱۰۰۰ دلار به ازای هر کیلووات در نظر گرفته شده است؛
- هزینه‌های جاری از قبیل سروپس، تعمیر و نگهداری معادل ۴۰ درصد قیمت اولیه توربین در نظر گرفته شده است؛
- هزینه‌های حمل و نقل، نصب و ... معادل شش درصد قیمت اولیه توربین در نظر گرفته شده است؛
- نیخ تورم معادل ۳۵ درصد در نظر گرفته شده است؛
- عمر مفید توربین ۲۰ سال در نظر گرفته شده است.

بنابراین، با در نظر گرفتن مقادیر فوق و استفاده از میران تولید انرژی سالیانه (جدول ۳) و جایگذاری آنها در روابط ۲۱ الی ۲۲، می‌توان تخمینی از هزینه تولید انرژی به‌واسطه توربین بادی محور عمودی برای نوع H - شکل و V - شکل به دست آورد. این مقایسه در جدول ۴ نشان داده شده است. از آنجا که توان تولید شده توسط توربین H - شکل بیشتر است، بنابراین نیازمند ژراتور بزرگ‌تر و ادوات کنترلی گران‌تری بوده و از همین رو، هزینه اولیه آن بیشتر از نوع V - شکل است. همین موضوع در



شکل ۹. منحنی ضریب توان توربین.



شکل ۱۰. مقایسه تصویر مساحت جاروب شده (مساحت موثر) توربین H - شکل و V - شکل.

است. کاهش مساحت موثر توربین V - شکل را می‌توان در شکل ۱۰ مشاهده کرد. با توجه به پارامترهای ابعادی در نظر گرفته شده در بخش‌های قبل، مساحت موثر در توربین H - شکل و V - شکل به ترتیب معادل ۳۶ متر مربع و ۱۳ متر مربع است.

با ارزیابی بیشتر منحنی‌های عملکردی توربین، مشاهده می‌شود که توربین V - شکل دارای منحنی صاف‌تری بوده و برای سرعت بادهای مختلف دارای تغییر توان کمتری است؛ به عبارت دیگر، در این نوع توربین، توان خروجی حساسیت کمتری نسبت به تغییر سرعت باد دارد، درحالی‌که این موضوع برای توربین H - شکل بیشتر است. از تفاوت دیگر این دو نوع توربین می‌توان به لحظه راه‌اندازی اشاره کرد. با توجه به منحنی ضریب توان، مشخص است که در لحظه راه‌اندازی TSR (پایین) مقداری توان منفی ایجاد شده که به معنای وجود گشتاور منفی بوده و موجب عدم راه‌اندازی توربین خواهد شد. این توان منفی برای توربین V - شکل کمتر از ۱۰ وات می‌باشد که نسبت به نوع H - شکل (حدود ۷۰ وات) کمتر است؛ این بدان معناست که با زاویه‌دار کردن پره‌ها (با زاویه ۴۵ درجه) مقدار توان منفی هفت برابر کوچکتر می‌شود. همچنین، انتظار می‌رود که با افزایش زاویه مخروطی (θ)، از این گشتاور منفی کاسته شود. در توربین‌های H - شکل نیز به منظور کاهش این گشتاور نامطلوب در هنگام راه‌اندازی از روش‌هایی از جمله موتور راه‌انداز؛ پره‌های جی - شکل، ترکیب روتورهای دارپس و ساونیوس و ... استفاده می‌شود.

در نهایت، خلاصه‌ای از عملکرد توربین در حالت H - شکل و V - شکل در جدول ۳ نشان داده شده است. با توجه به توزیع سرعت باد در شهر زاهدان، مقدار انرژی تولید شده سالیانه برای توربین H - شکل ۲۴۵۰ کیلووات ساعت می‌باشد، درحالی‌که این مقدار برای نوع V - شکل در حدود ۴۵۰ کیلووات ساعت است. این موضوع نشان می‌دهد که هر چند راه‌اندازی اولیه توربین H - شکل دشوارتر است، اما توان خروجی از آن بسیار بیشتر از نوع V - شکل خواهد بود.

جدول ۴. مقایسه اقتصادی توربین های H - شکل و V - شکل.

هزینه	اولیه	جاری	خالص تمام شده	تولید انرژی	(\$/KWh)
	(\$(\\$))	(\$(\\$))	(\$(\\$))	(\$(\\$))	سالیانه \$(\\$)
توربین H - شکل	۱۱۳۴	۶۸	۷۰	۰/۰ ۲۷۱	۰
توربین V - شکل	۲۲۰	۱۰	۱۰	۰/۰ ۲۱۹	۰

هزینه جاری توربین نیز صادق بوده و در نهایت می‌توان هزینه خالص تولید انرژی سالیانه (NPV) را برای توربین H - شکل حدود ۷۰ دلار و برای توربین V - شکل ۱۰ دلار تعیین کرد.

#### ۸. نتیجه‌گیری

در این مطالعه به بررسی آماری سرعت باد در سه سال اخیر (۱۸ ۲۰ ۲۰) در شهر زاهدان پرداخته شد. ارزیابی توزیع سرعت باد در این شهر نشان داد که زاهدان دارای سرعت میانگین سالیانه  $3/77 \text{ m/s}$  بود و با توجه به احتمال رخداد سرعت‌های باد مختلف، پتانسیل بادی این شهر در حدود  $98 \text{ W/m}^2$  وات بر متر مربع است. توربین های H - شکل و V - شکل استفاده شده می‌توانند به ترتیب ۱۵۰ وات را در سرعت باد  $4/6 \text{ m/s}$  بر ثانیه و ۱۲۰ وات را در سرعت باد  $4/8 \text{ m/s}$  بر ثانیه تولید کنند. از نظر بازدهی نیز توربین H - شکل به دلیل داشتن مساحت مؤثر بیشتر و تولید گشتاور بالاتر نسبت به نوع V - شکل، دارای ضریب توانی در حدود  $45\%$  بوده و این در حالی است که ضریب توان توربین وی-شکل حدود ۲۸٪ است.

#### پابنوشت‌ها

1. DMST Method
2. MATLAB
3. Azimuth Angle
4. Tip Vortex
5. Downwash
6. Sandia Lab
7. Tip Speed Ratio
8. Wake
9. Stream Tube Expansion
10. Dynamic Stall

#### منابع (References)

1. Eskin, N., Artar, H. and Tolun, S., 2008. Wind energy potential of Gökçeada Island in Turkey. *Renewable and Sustainable Energy Reviews*, 12(3), pp.839-851. <https://doi.org/10.1016/j.rser.2006.05.016>.
2. Kumar, A. and Prasad, S., 2010. Examining wind quality and wind power prospects on Fiji Islands. *Renewable Energy*, 35(2), pp.536-540. <https://doi.org/10.1016/j.renene.2009.07.021>.
3. Chaparzadeh, Feseqandis, R., 1999. Feasibility of applying wind turbine for achieving sustainable development. *Proceedings of 2th National Conference of Energy*.
4. Mirhosseini, M., Sharifi, F. and Sedaghat, A., 2011. Assessing the wind energy potential locations in province of Semnan in Iran. *Renewable and Sustainable Energy Reviews*, 15(1), pp.449-459. <https://doi.org/10.1016/j.rser.2010.09.029>.
5. Mostafaeipour, A., Sedaghat, A., Dehghan-Niri, A.A. and Kalantar, V., 2011. Wind energy feasibility study for city of Shahr-e-Babak in Iran. *Renewable and Sustainable Energy Reviews*, 15(6), pp.2545-2556. <https://doi.org/10.1016/j.rser.2011.02.030>.
6. Ghorashi, A.H. and Rahimi, A., 2011. Renewable and non-renewable energy status in Iran: Art of know-how and technology-gaps. *Renewable and Sustainable Energy Reviews*, 15(1), pp.729-736. <https://doi.org/10.1016/j.rser.2010.09.037>.
7. Alamdar, P., Nematollahi, O. and Mirhosseini, M., 2012. Assessment of wind energy in Iran: A review. *Renew-*

- able and Sustainable Energy Reviews*, 16(1), pp.836-860. <https://doi.org/10.1016/j.rser.2011.09.007>.
8. Mostafaeipour, A., 2010. Feasibility study of harnessing wind energy for turbine installation in province of Yazd in Iran. *Renewable and Sustainable Energy Reviews*, 14(1), pp.93-111. <https://doi.org/10.1016/j.rser.2009.05.009>.
  9. Mostafaeipour, A., 2013. Economic evaluation of small wind turbine utilization in Kerman, Iran. *Energy Conversion and Management*, 73, pp.214-225. <https://doi.org/10.1016/j.enconman.2013.04.018>.
  10. Mousavi, S.M., Ghanbarabadi, M.B. and Moghadam, N.B., 2012. The competitiveness of wind power compared to existing methods of electricity generation in Iran. *Energy Policy*, 42, pp.651-656. <https://doi.org/10.1016/j.enpol.2011.12.038>.
  11. Keyhani, A., Ghasemi-Varnamkhasti, M., Khanali, M. and Abbaszadeh, R., 2010. An assessment of wind energy potential as a power generation source in the capital of Iran, Tehran. *Energy*, 35(1), pp.188-201. <https://doi.org/10.1016/j.energy.2009.09.009>.
  12. Mostafaeipour, A. and Abarghooei, H., 2008. Harnessing wind energy at Manjil area located in north of Iran. *Renewable and Sustainable Energy Reviews*, 12(6), pp.1758-1766. <https://doi.org/10.1016/j.rser.2007.01.029>.
  13. Akdağ, S.A. and Güler, Ö., 2010. Evaluation of wind energy investment interest and electricity generation cost analysis for Turkey. *Applied Energy*, 87(8), pp.2574-2580. <https://doi.org/10.1016/j.apenergy.2010.03.015>.
  14. Ucar, A. and Balo, F., 2009. Evaluation of wind energy potential and electricity generation at six locations in Turkey. *Applied Energy*, 86(10), pp.1864-1872. <https://doi.org/10.1016/j.apenergy.2008.12.016>.
  15. Fyriplis, I., Axaopoulos, P.J. and Panayiotou, G., 2010. Wind energy potential assessment in Naxos Island, Greece. *Applied Energy*, 87(2), pp.577-586. <https://doi.org/10.1016/j.apenergy.2009.05.031>.
  16. Xydis, G., Koroneos, C. and Loizidou, M., 2009. Exergy analysis in a wind speed prognostic model as a wind farm siting selection tool: A case study in Southern Greece. *Applied Energy*, 86(11), pp.2411-2420. <https://doi.org/10.1016/j.apenergy.2009.03.017>.
  17. Weigt, H., 2009. Germany's wind energy: The potential for fossil capacity replacement and cost saving. *Applied Energy*, 86(10), pp.1857-1863. <https://doi.org/10.1016/j.apenergy.2008.11.031>.
  18. Bekele, G. and Palm, B., 2009. Wind energy potential assessment at four typical locations in Ethiopia. *Applied Energy*, 86(3), pp.388-396. <https://doi.org/10.1016/j.apenergy.2008.05.012>.
  19. Jowder, F.A., 2009. Wind power analysis and site matching of wind turbine generators in Kingdom of Bahrain. *Applied Energy*, 86(4), pp.538-545. <https://doi.org/10.1016/j.apenergy.2008.08.006>.
  20. Elhadidy, M.A. and Shaahid, S.M., 1999. Feasibility of hybrid (wind+ solar) power systems for Dhahran, Saudi Arabia. *Renewable Energy*, 16(1-4), pp.970-976. [https://doi.org/10.1016/S0960-1481\(98\)00344-9](https://doi.org/10.1016/S0960-1481(98)00344-9).
  21. Kumara, E.D., Hettiarachchi, N. and Jayathilake, R., 2017. Overview of the vertical axis wind turbines. *Int. J. Sci. Res. Innov. Technol.*, 4, pp.56-67. doi:10.1016/j.egypro.2015.03.259.
  22. Mohammed, A.A., Ouakad, H.M., Sahin, A.Z. and Bahaidarah, H.M., 2019. Vertical axis wind turbine aerodynamics: Summary and review of momentum models. *Journal of Energy Resources Technology*, 141(5), p.050801. <https://doi.org/10.1115/1.4042643>.
  23. Paraschivou, I., 2002. *Wind Turbine Design: With Emphasis On Darrieus Concept*. Presses Inter Polytechnique. [Book].
  24. Anderson, J.D., 1998. *A History of Aerodynamics: And Its Impact on Flying Machines (No. 8)*. Cambridge University Press. [Book].
  25. Mohammed, A.A., Ouakad, H.M., Sahin, A.Z. and Bahaidarah, H.M., 2020. Parametric study and comparison of aerodynamics momentum-based models for straight-bladed vertical axis wind turbines. *Arabian Journal for Science and Engineering*, 45, pp.729-741. <https://doi.org/10.1007/s13369-019-04133-w>.
  26. Moghimi, M. and Motawej, H., 2020. Developed DMST model for performance analysis and parametric evaluation of Gorlov vertical axis wind turbines. *Sustainable Energy Technologies and Assessments*, 37, p.100616. <https://doi.org/10.1016/j.seta.2019.100616>.
  27. Mostafaeipour, A., Jadidi, M., Mohammadi, K. and Sedaghat, A., 2014. An analysis of wind energy potential and economic evaluation in Zahedan, Iran. *Renewable and Sustainable Energy Reviews*, 30, pp.641-650. <https://doi.org/10.1016/j.rser.2013.11.016>.